

©1995 г.

## СВЕТОУПРАВЛЯЕМЫЕ ЭЛЕКТРИЧЕСКИЕ ПОЛЯ В ВЫСОКООМОМНОЙ МДПДМ СТРУКТУРЕ С ТУННЕЛЬНО-ПРОЗРАЧНЫМ ДИЭЛЕКТРИКОМ

Б.И.Резников, Г.В.Царенков

Физико-технический институт им. А.Ф. Иоффе Российской академии наук,  
194021, Санкт-Петербург, Россия.

(Получена 31 октября 1994 г. Принята к печати 8 ноября 1994 г.)

Теоретически исследовано влияние барьера Шоттки  $\varphi_{B_n}$ , сечений захвата носителей на примесный уровень и концентрации глубокой примеси на фотоэффект в сильно смещенной высокоомной симметричной МДПДМ структуре с туннельно-прозрачным диэлектриком при освещении ее со стороны анода монохроматическим собственным светом. Решалась полная система уравнений непрерывности в диффузионно-дрейфовом приближении при наличии эмиссии носителей через границы полупроводника и уравнение Пуассона. Результаты приведены для структуры на основе CdTe с одиночным примесным уровнем. Показана возможность качественно новых типов распределения электрического поля в катодной части толщи полупроводника. При достаточно большой концентрации примеси ( $N_t \simeq 10^{13} \text{ см}^{-3}$ ) и достаточно большом отношении сечений захвата носителей ( $\sigma_n/\sigma_p \simeq 10^3$ ) электрическое поле в катодной области сильно зависит от  $\varphi_{B_n}$ . При  $\varphi_{B_n} > \varphi_{cr}$  ( $e\varphi_{cr} = E_g - kT \ln(N_v/p_*)$ ,  $p_*$  — равновесная концентрация дырок в нейтральном объеме) поле  $E(x)$  в толще монотонно возрастает, имеет точку перегиба и положительную кривизну ( $d^2E/dx^2 > 0$ ) в катодной области. В противоположном случае ( $\varphi_{B_n} < \varphi_{cr}$ ) поле достигает максимума внутри толщи и убывает к катоду. Характерное расстояние, на котором изменяется поле, — дрейфовая длина электронов. Величина поля на темновом контакте растет с увеличением  $\varphi_{B_n}$ ,  $\sigma_n/\sigma_p$  и  $N_t$ . Такой характер распределения поля определяется чувствительностью степени заполнения примесных уровней и объемного заряда примеси к величине электронной концентрации. Последняя изменяется в катодной толще благодаря тепловой генерации электронов с уровня примеси ( $\varphi_{B_n} > \varphi_{cr}$ ) или рекомбинации через этот уровень ( $\varphi_{B_n} < \varphi_{cr}$ ).

### Введение

Исследование стационарного фотоэффекта в высокоомных сильно смещенных структурах металл–полупроводник–металл (МПМ) выявило значительное разнообразие распределений электрического поля  $E(x)$  в толще полупроводника при различных концентрациях примеси

и различных энергиях примесного уровня [1–3]. При этом были обнаружены особенности поведения  $E(x)$  вблизи электродов, в частности инверсия электрического поля у освещаемого анода. При всем разнообразии распределений поля все они имеют в толще отрицательную кривизну  $d^2E/dx^2 < 0$ . Это не согласуется с экспериментальными данными [4], которые содержат распределения  $E(x)$ , обладающие точкой перегиба и положительной кривизной в толще вблизи катода в области протяженностью примерно  $\bar{d}/3$  ( $d$  — толщина структуры).

В теоретических исследованиях [1–3] расчеты проводились при фиксированных значениях барьера Шоттки  $\varphi_{B_n}$  и сечений захвата носителей. Величина барьера ( $e\varphi_{B_n} = 0.71$  эВ) для структуры Au–CdTe–Au бралась из работы [5], а значения сечений захвата  $\sigma_n = 4 \cdot 10^{-16}$  см<sup>2</sup>,  $\sigma_p = 2.9 \cdot 10^{-14}$  см<sup>2</sup> — из работы [6] для уровня  $E_c - E_t = \varepsilon_t = 0.7$  эВ.

Реальные структуры содержат окисную диэлектрическую пленку между полупроводником и металлом (МДПДМ структуры) и, имея барьеры между металлом и диэлектриком, а также между диэлектриком и полупроводником, не характеризуются одним значением  $\varphi_{B_n}$ . Однако если диэлектрическая пленка практически не препятствует прохождению носителей между полупроводником и металлом (что может быть при малой толщине пленки или при малом энергетическом барье-ре для туннелирования), то контакт может характеризоваться одним значением  $\varphi_{B_n}$ . Последнее зависит от химической природы пленки и может изменяться в достаточно широких пределах. Что касается сечений захвата носителей на глубокий примесный уровень, то их значения могут быть самыми разнообразными. В частности, как следует из работы [7], для примеси с  $\varepsilon_t = 0.74$  эВ сечения захвата равны  $\sigma_n = 2 \cdot 10^{-15}$  см<sup>2</sup>,  $\sigma_p = 2 \cdot 10^{-16}$  см<sup>2</sup>, т.е.  $\sigma_n \gg \sigma_p$ . Этот случай противоположен рассмотренному нами ранее. Более того, согласно работе [8] значения  $\sigma_n$  содержатся в интервале  $(10^{-14} \div 10^{-12})$  см<sup>2</sup>.

В рассмотренном ранее случае  $\sigma_p \gg \sigma_n$  примесь проявляет себя в толще как уровень прилипания для дырок. Поскольку в толще выполняется соотношение  $pE = \text{const}$  [1], ( $p$  — концентрация дырок), поле растет с отрицательной второй производной при удалении от освещаемой поверхности. В противоположном случае  $\sigma_n \gg \sigma_p$  степень заполнения примеси, а следовательно, объемный заряд в толще и распределение  $E(x)$  могут зависеть также от электронной концентрации, и данный случай может представить большее разнообразие возможностей. Следует также отметить, что изменение равновесных граничных концентраций носителей, определяемых  $\varphi_{B_n}$ , также может повлиять на распределение  $E(x)$  из-за изменения профилей электронной концентрации и объемного заряда примеси.

Цель настоящей работы — исследовать влияние величины поверхностного барьера и сечений захвата носителей на распределение электрического поля в толще структуры и, в частности, дать ответ на вопрос о возможности положительной кривизны в зависимости  $E(x)$  вблизи катода.

# 1. Постановка задачи

Рассматривается симметричная МДПДМ структура (рис. 1, вставка), полупрозрачная поверхность которой освещается собственным, монохроматическим светом ( $h\nu \gtrsim E_g$ ). К структуре приложено напряжение  $V$ , намного большее всех энергетических барьеров. Освещаемая поверхность  $x = 0$  является анодом. Рассмотрение переноса носителей в полупроводнике базируется на системе уравнений непрерывности в диффузионно-дрейфовом приближении и уравнении Пуассона. Предполагается, что диэлектрические слои между полупроводником и металлом настолько тонкие, что носители беспрепятственно проходят через них, так что граничные условия на поверхности полупроводника такие же, как в работе [1]. В этом случае математическая модель процессов в такой МДПДМ структуре полностью совпадает с моделью фотоэффекта в МПМ структуре [1], отличаясь лишь значением  $\varphi_{B_n}$ .

Численные расчеты проводились на примере структуры, содержащей CdTe с одиночным глубоким примесным уровнем. Использовались следующие фиксированные параметры полупроводника: равновесная концентрация дырок в слитке при комнатной температуре  $p_* = 10^8 \text{ см}^{-3}$ ,  $E_g = 1.5 \text{ эВ}$ ,  $N_c = 9.05 \cdot 10^{17} \text{ см}^{-3}$ ,  $N_v = 5.1 \cdot 10^{18} \text{ см}^{-3}$ ,  $\mu_p = 50 \text{ см}^2/\text{В}\cdot\text{с}$ ,  $b = \mu_n/\mu_p = 10$ , скорости эмиссии носителей через поверхность полупроводников  $V_n = 8.5 \cdot 10^6 \text{ см}/\text{с}$ ,  $V_p = 6 \cdot 10^6 \text{ см}/\text{с}$ , диэлектрическая проницаемость  $\varepsilon = 10.9$ . Величина  $\varphi_{B_n}$  варьировалась в интервале  $(0.71 \div 1)$  В. Глубокая примесь характеризовалась энергией уровня  $\varepsilon_t = 0.79 \text{ эВ}$ . и сечением захвата дырок  $\sigma_p = 10^{-16} \text{ см}^2$ . Сечение захвата для электронов  $\sigma_n$  и концентрация примеси  $N_t$  варьировались в интервалах  $\sigma_n = (10^{-16} \div 10^{-12}) \text{ см}^2$ ,  $N_t = (0 \div 10^{13}) \text{ см}^{-3}$ . Параметры, соответствующие условиям эксперимента, брались близкими к указанным в работе [4]: интенсивность излучения, входящего в полупроводник,  $I_i = 4 \cdot 10^{15} \text{ см}^{-2}\text{с}^{-1}$ , коэффициент поглощения  $\alpha = 10^4 \text{ см}^{-1}$ , приложенное напряжение  $V = 600 \text{ В}$ , толщина структуры  $d = 0.3 \text{ см}$ ,  $T = 300 \text{ К}$ .

Численная процедура решения системы, описывающей перенос носителей, содержится в работе [2]. Характерными чертами алгоритма решения является использование неравномерной сетки, сгущающейся на концах промежутка, и матричной прогонки для решения линеаризованной разностной задачи, аппроксимирующей исходную систему.

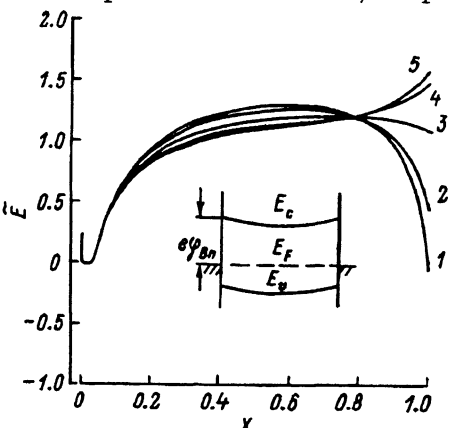


Рис. 1. Распределение электрического поля  $\tilde{E}(X)$  при различных значениях  $\varphi_{B_n}$ , В: 1 — 0.71, 2 — 0.8, 3 — 0.85, 4 — 0.9, 5 — 1. На вставке — энергетическая зонная диаграмма МДПДМ структуры в равновесии.

## 2. Влияние барьера Шоттки

Первоначальная серия численных экспериментов проводилась с целью выяснения влияния поверхностного барьера  $\varphi_{B_n}$  на распределение электрического поля и другие дифференциальные характеристики. Считалось, что присутствует достаточно заметная концентрация глубокой примеси  $N_t = 10^{13} \text{ см}^{-3}$ . Исследовался наиболее интересный случай  $\sigma_n \gg \sigma_p$ , причем  $\sigma_n = 10^{-13} \text{ см}^2$ .

На рис. 1 изображены профили  $\tilde{E}(X) = E(X)/E_e$  ( $E_e = V/d$ ,  $X = x/d$ ). Основная качественная особенность представленных зависимостей заключается в существенном изменении характера поля в прикатодной части толщины. При этом для  $\varphi_{B_n} \lesssim 0.87 \text{ В}$  поле проходит через максимум и убывает к катоду. Для значений  $\varphi_{B_n} \gtrsim 0.87 \text{ В}$  зависимость  $\tilde{E}(X)$  имеет точку перегиба вблизи середины структуры, а в прикатодной области кривизна профиля положительна ( $d^2E/dx^2 > 0$ ). Заметим, что в первом случае ( $\varphi_{B_n} \lesssim 0.87 \text{ В}$ ) изменение  $\tilde{E}(X)$  вблизи катода более значительно, чем во втором, и область необычного поведения  $\tilde{E}(X)$  занимает значительную часть структуры. Из графика видны также особенности поведения  $\tilde{E}(X)$  вблизи анода. Это резкое падение  $\tilde{E}(X)$  в слое шириной в несколько значений  $\alpha^{-1}$  и довольно протяженная ( $\simeq 0.04d$ ) область квазинейтральности с малыми отрицательными значениями поля  $|\tilde{E}(X)| \simeq 0.01$ . Отметим, что вблизи анода зависимости  $\tilde{E}(X)$  при различных  $\varphi_{B_n}$  сливаются.

Для понимания полученных зависимостей следует проанализировать распределения концентрации носителей. Дырочная концентрация  $P(X) = p/p_*$  (рис. 2) во внутренней достаточно протяженной части структуры близка к равновесному значению в слитке, т.е.  $p \simeq p_*$ . Вблизи катода в слое протяженностью примерно  $d/3$  концентрация либо растет ( $\varphi_{B_n} \lesssim 0.87 \text{ В}$ ), либо убывает ( $\varphi_{B_n} \gtrsim 0.87 \text{ В}$ ). Резкий пик  $P(X)$  вблизи анода связан со световой генерацией в слое толщиной  $\delta x \simeq \alpha^{-1}$  и диффузией против поля в слое толщиной порядка  $\simeq 0.04d$ . Вблизи катода имеется пограничный слой шириной  $\delta x \simeq kT/eE(d)$ , где диффузия носителей согласует концентрацию  $P(X)$  в толще с ее граничным значением. При  $\varphi_{B_n} < 0.87 \text{ В}$  дырочная концентрация убывает в этом слое, а при  $\varphi_{B_n} > 0.87 \text{ В}$  концентрация  $P(X)$  растет.

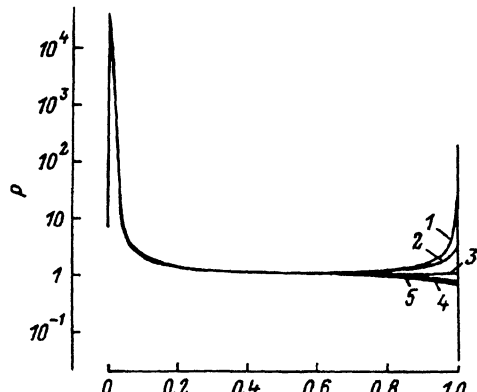


Рис. 2. Распределение дырочной концентрации  $P(X)$  при тех же значениях  $\varphi_{B_n}$ , что и на рис. 1.

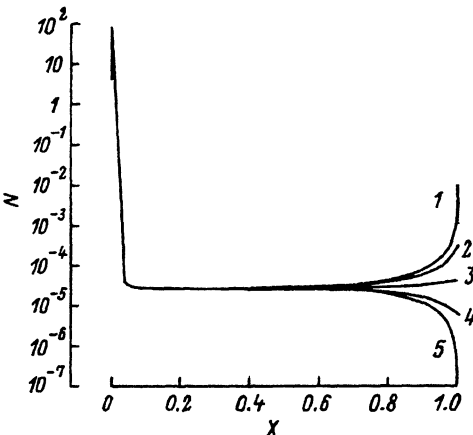


Рис. 3. Распределение электронной концентрации  $N(X)$  при тех же значениях  $\varphi_{B_n}$ , что и на рис. 1.

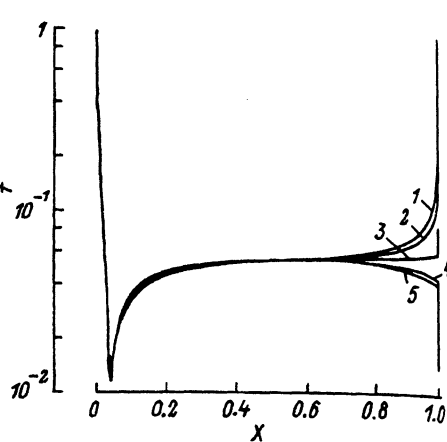


Рис. 4. Распределение степени заполнения уровня примеси  $f(X)$  при тех же значениях  $\varphi_{B_n}$ , что и на рис. 1.

Распределение электронной концентрации  $N(X) = n/p_*$  (рис. 3) обнаруживает в толще аналогичные особенности. Это — постоянство в основной части толщи, где  $n \approx n_* = n_i^2/p_*$ , рост в прикатодной части толщи при  $\varphi_{B_n} \lesssim 0.87$  В и падение при  $\varphi_{B_n} \gtrsim 0.87$  В. Вблизи анода имеется пик концентрации, связанный со световой генерацией.

Распределение степени заполнения примеси электронами  $f(X)$ , показанные на рис. 4, демонстрируют сложную немонотонную зависимость в анодной части толщи и слабую чувствительность к  $\varphi_{B_n}$  всюду, за исключением прикатодной области. Здесь  $f(x)$  качественно повторяет поведение  $N(X)$ , но в пограничном слое у катода коррелирует с зависимостью  $P(X)$ .

Изучение распределения объемного заряда в структуре показало, что всюду, за исключением прианодной области, заряд свободных носителей много меньше заряда примеси. Зависимость  $\rho(x)$  повторяет распределение  $f(X)$ , и  $\rho(x) \approx -eN_t(f - f_*)$ . В связи с этим для понимания поведения электрического поля следует изучить зависимость  $f(X)$  более подробно.

Качественное подобие теоретических (рис. 1) и экспериментальных [4] зависимостей  $E(X)$  достигается при значениях  $\varphi_{B_n}$ , близких к 1 В. Поэтому этот диапазон значений  $\varphi_{B_n}$  заслуживает более детального изучения. На рис. 5 для  $\varphi_{B_n} = 1$  В,  $N_t = 10^{13}$  см<sup>-3</sup> изображена степень заполнения примесей  $f$  в равновесии, при смещении  $V = 600$  В и при дополнительном освещении с интенсивностью  $I_i = 4 \cdot 10^{15}$  см<sup>-2</sup> · с<sup>-1</sup>. Видно, что смещение в темноте вызывает уменьшение  $f$  в прианодной и прикатодной частях полупроводника, т.е. приводит к освобождению примесей от электронов. При этом в прианодной части изменение  $f$  больше. В средней части образца  $f \approx f_*$  и все три кривые совпадают. Распределение  $f$  при освещении отличается от темновой зависимости лишь в прианодной области. Из этого следует, что освещение не влияет на степень заполнения в прикатодной области, а следовательно, на

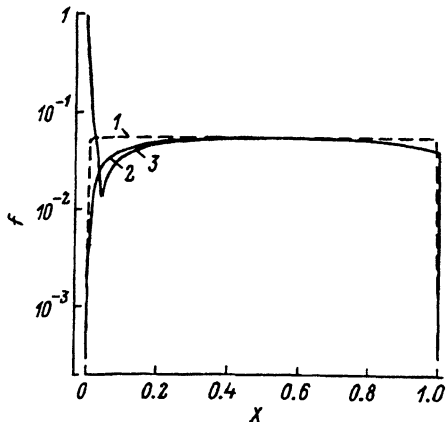


Рис. 5. Распределение степени заполнения уровня примеси  $f$  в равновесии (1), при смещении  $V = 600$  В (2) и при дополнительном освещении с интенсивностью  $I_i = 4 \cdot 10^{15} \text{ см}^{-2} \cdot \text{с}^{-1}$  (3).

величину  $dE/dx$ . Последнее хорошо видно из рис. 6, где сравнивается темновое распределение поля с профилями  $\tilde{E}(X)$  при освещении.

Из рис. 6 также следует, что рост интенсивности освещения вызывает не очень значительное увеличение поля вблизи катода и основные отличия имеются в прианодной области. Так, при интенсивности  $I_i = 4 \cdot 10^{15} \text{ см}^{-2} \cdot \text{с}^{-1}$  поле на поверхности  $E_0 > 0$  и резко падает в слое толщиной несколько длин поглощения, что связано со значительным отрицательным объемным зарядом примеси. При  $I_i = 5 \cdot 10^{17} \text{ см}^{-2} \cdot \text{с}^{-1}$  поле у анода отрицательное ( $\tilde{E}_0 = -0.07$ ) и растет в тонком слое такой же толщины при отходе от освещаемой поверхности. За слоем резкого изменения поля следует область квазинейтральности, расширяющаяся с ростом интенсивности освещения. Последнее приводит к уменьшению  $\tilde{E}(X)$  в значительной части прианодной области, что в силу постоянства приложенного к структуре напряжения влечет за собой увеличение поля в прианодной области. Заметим, что ширина области квазинейтральности достаточно широка (при  $I_i = 5 \cdot 10^{17} \text{ см}^{-2} \cdot \text{с}^{-1}$  она достигает  $0.15d$ ) и намного больше ее значения при аналогичных параметрах в случае  $\sigma_n \ll \sigma_p$  [2].

Отметим также необычное поведение зависимости  $\tilde{E}_0(I_i)$ , которая немонотонна. При малых значениях  $I_i$  величина  $\tilde{E}_0(I_i)$  растет, достигает максимума  $\tilde{E}_0 = 0.234$  при  $I_i = 5 \cdot 10^{14} \text{ см}^{-2} \cdot \text{с}^{-1}$  и далее уменьшается с ростом интенсивности, проходя через нуль примерно при  $I_i = 3 \cdot 10^{17} \text{ см}^{-2} \cdot \text{с}^{-1}$ . Немонотонность  $\tilde{E}_0(I_i)$  связана с изменением знака объемного заряда на освещаемой поверхности от отрицательного, когда при малых интенсивностях превалирует объемный заряд примеси, к положительному, когда отрицательный заряд компенсируется зарядом фотогенерируемых дырок.

Отметим, что ток через структуру — слабо растущая функция интенсивности в силу захвата в толще практически всех фотогенерированных дырок на примесные уровни [3]. При изменении  $I_i$  в интервале  $(0 \div 5 \cdot 10^{17}) \text{ см}^{-2} \cdot \text{с}^{-1}$  ток изменяется в интервале  $(1.75 \div 2.06) \text{ мкА}/\text{см}^2$ .

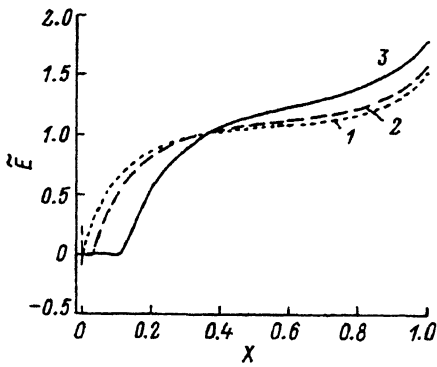


Рис. 6. Распределение электрического поля  $\tilde{E}(X)$  при различных значениях интенсивности освещения  $I_i$ ,  $\text{см}^{-2} \cdot \text{с}^{-1}$ : 1 — 0, 2 —  $4 \cdot 10^{15}$ , 3 —  $5 \cdot 10^{17}$ ;  $\varphi_{B_n} = 1 \text{ В}$ ,  $N_t = 10^{13} \text{ см}^{-3}$ .

### 3. Аналитическое рассмотрение

Цель настоящего раздела — дать качественную трактовку распределения поля  $\tilde{E}(x)$  и объяснить ее зависимость от величины поверхностного барьера  $\varphi_{B_n}$ . Из численных расчетов (рис. 2–4) следует, что изменение поля в катодной части толщи ( $X > 0.6$ ) с хорошей точностью определяется объемным зарядом примеси. Действительно, из рис. 2–4 видно, что  $|p - p_*| \lesssim 10^2 p_*$ ,  $|n - n_*| \lesssim 10^{-2} p_*$ ,  $|f - f_*| \simeq (10^{-2} \div 1)$ . При  $N_t = 10^{13} \text{ см}^{-3}$  зарядом свободных носителей можно пренебречь, и

$$\rho(x) \simeq -eN_t(f - f_*). \quad (1)$$

Таким образом, изменение  $E(x)$  в прикатодной области полностью определяется степенью заполнения примеси. Из рис. 2, 3 также следует, что в толще структуры  $p \gg n$  и для потоков носителей заряда выполняется неравенство  $|q_p| \gg |q_n|$ . В результате плотность тока через структуру  $j \simeq eq_p$ . Из расчетов также следует, что в толще диффузия несущественна и выполняется равенство  $pE = \text{const}$ .

В то же время электронный поток  $q_n(x)$  изменяется в несколько раз, что означает, что в толще существенны рекомбинация и тепловая генерация электронов. Из расчета следует, что для  $\varphi_{B_n} = 1 \text{ В}$  при  $X > 0.5$  выполняется неравенство  $pn < n_i^2$ , т.е. в этой части структуры тепловая генерация преобладает над рекомбинацией.

Дадим приближенный анализ поведения концентрации носителей и электрического поля в катодной части толщи ( $X > 0.5$ ), ориентируясь в основном на случай  $\varphi_{B_n} = 1 \text{ В}$  и  $\varepsilon_t = 0.79 \text{ эВ}$ . При этом постоянные

$$p_1 = N_v \exp[-(E_g - \varepsilon_t)/kT], \quad n_1 = N_c \exp(-\varepsilon_t/kT),$$

а также величина  $f_* = p_1/(p_1 + p_*)$  соответственно равны  $p_1 = 5.7 \times 10^6 \text{ см}^{-3}$ ,  $n_1 = 4.6 \cdot 10^4 \text{ см}^{-3}$ ,  $f_* = 0.054$ . Из расчетов следует, что в катодной части толщи дырочная концентрация изменяется в диапазоне  $0.7 \cdot 10^8 \text{ см}^{-3} < p < 10^8 \text{ см}^{-3}$  а электронная — не превосходит значение  $2.5 \cdot 10^3 \text{ см}^{-3}$ . Таким образом, в этом случае  $p(x) \gg p_1$ , а  $n(x) \ll n_1$ .

Выражение для скорости рекомбинации–генерации

$$U = N_t \frac{\alpha_n \alpha_p (pn - n_i^2)}{\alpha_n (n + n_1) + \alpha_p (p + p_1)} \quad (2)$$

упрощается и при  $\alpha_n/\alpha_p \simeq 10^3$  принимает вид

$$U \simeq N_t \alpha_n \frac{pn - n_i^2}{(\alpha_n/\alpha_p)n_1 + p} \quad (3)$$

( $\alpha_n$ ,  $\alpha_p$  — коэффициенты захвата носителей,  $\alpha_n = \langle \sigma_n v_n \rangle$ ,  $\alpha_p = \langle \sigma_p v_p \rangle$ ,  $v_n$ ,  $v_p$  — тепловые скорости носителей заряда).

Пренебрегая в толще диффузионной частью электронного потока (из рис. 3 следует, что диффузия может быть существенна лишь непосредственно вблизи катода), получим, что уравнение непрерывности для электронов имеет вид

$$\frac{d}{dx} (\mu_n n E) = U. \quad (4)$$

Из расчетов следует, что относительные изменения  $E(x)$  и  $p(x)$  много меньше, чем относительное изменение  $n(x)$ . Поэтому в уравнении (4), где  $U$  дается выражением (3), будем полагать  $E$  и  $p$  постоянными и равными их характерным значениям  $E_e$  и  $p_*$ . При этих предположениях уравнение для электронной концентрации принимает простой вид

$$\frac{dn}{dx} = \frac{n - n_*}{l}, \quad (5)$$

где характерная дрейфовая длина

$$l = v_{dr}^n \tau_n = \frac{\mu_n E_e}{N_t \alpha_n} \left( 1 + \frac{\alpha_n n_1}{\alpha_p p_*} \right). \quad (6)$$

Уравнение (5) описывает изменение электронной концентрации в результате тепловой генерации ( $n < n_*$ ) и дрейфа в электрическом поле с характерной дрейфовой длиной (6), определяемой этими процессами. Численная оценка при  $E_e = 2 \cdot 10^3$  В/см дает значение  $l = 0.4$  мм. Заметим, что уравнение (5) пригодно также и в отсутствие освещения. Это связано с тем, что в рассматриваемом случае ( $\varepsilon_t = 0.79$  эВ) темновые распределения  $p(x)$ ,  $n(x)$ ,  $f(x)$  в прикатодной части мало изменяются при освещении, и все сделанные оценки остаются в силе. Как видно из рис. 6, поле  $E(x)$  в прикатодной области изменяется лишь из-за сильной деформации поля в прианодной части при освещении.

Решение уравнения (5) при граничном условии  $n(x = d) \equiv n_d$  имеет вид

$$n(x) = n_* + (n_d - n_*) \exp \left( \frac{x - d}{l} \right). \quad (7)$$

Из расчетов следует, что концентрация электронов у катода равна равновесной концентрации электронов в металле  $n(d) \simeq n_d^{eq}$ . Последнее является следствием высокой скорости эмиссии электронов через поверхность полупроводника. Учитывая это, сразу выводим из (7), что вблизи катода концентрация  $n(x)$  убывает при  $n_d^{eq} < n_*$  и растет при  $n_d^{eq} > n_*$ . Равенство  $n_d^{eq} = n_*$  выполняется при  $\varphi_{B_n} = \varphi_{cr}$ , где  $e\varphi_{cr} = kT \ln(N_c/n_*) = E_g - kT \ln(N_v/p_*)$ . При  $p_* = 10^8$  см<sup>-3</sup> значение  $\varphi_{cr} = 0.87$  В. В этом случае, согласно (7), концентрация  $n(x)$  постоянна и равна  $n_*$ . Несмотря на то что соотношение (7) имеет наибольшее отклонение от точного решения вблизи  $x = d$ , полученная качественная картина полностью согласуется с результатами численного решения (рис. 3).

Определим теперь зависимость  $E(x)$ . При рассматриваемых параметрах ( $p_1 \ll p_*$ ,  $n \ll n_1$ )

$$f \simeq \frac{p_1 + (\alpha_n/\alpha_p)n}{p_* + (\alpha_n/\alpha_p)n_1} \quad (8)$$

и плотность объемного заряда (1) при дополнительном условии  $\alpha_n p_* |n - n_*| \gg \alpha_p p_1 |p - p_*|$  равна

$$\rho \simeq e N_t (\alpha_n/\alpha_p) \frac{n_* - n}{p_* + (\alpha_n/\alpha_p)n_1}. \quad (9)$$

Используя решение для  $n(x)$  из (7), приходим к уравнению

$$\frac{dE}{dx} = \frac{4\pi e \alpha_n N_t}{\varepsilon \alpha_p} \frac{n_* - n_d}{p_* + (\alpha_n/\alpha_p)n_1} \exp\left(\frac{x-d}{l}\right). \quad (10)$$

Интегрируя уравнение (10) при условии  $E(x=d/2) = E(d/2) \simeq E_e$ , получим

$$E(x) = E(d/2) + \frac{4\pi e \mu_n E_e}{\varepsilon \alpha_p} \frac{n_* - n_d}{p_*} \left[ e^{\frac{x-d}{l}} - e^{-\frac{d}{2l}} \right]. \quad (11)$$

Из (11) следует, что:

1. Характерная длина изменения поля равна дрейфовой длине электронов  $l$ .

2. Поскольку  $n_d \simeq n_d^{eq}$ , поле растет при  $n_d^{eq} < n_*$  и убывает при  $n_d^{eq} > n_*$ . Это означает, что поле растет при  $\varphi_{B_n} > \varphi_{cr}$  и убывает при  $\varphi_{B_n} < \varphi_{cr}$ .

3. При больших значениях  $\varphi_{B_n}$ , удовлетворяющих условию  $n_d^{eq} \ll n_*$ , зависимость  $E(x)$  от  $\varphi_{B_n}$  становится слабой. Напротив, при  $\varphi_{B_n} < \varphi_{cr}$ , когда  $n_d^{eq} > n_*$ , распределение  $E(x)$  чувствительно к  $\varphi_{B_n}$ .

4. Поле в катодной части слабо чувствительно к освещению, формально — только через значение  $E(d/2)$ . Последнее связано с тем, что в рассматриваемом случае ( $\varepsilon_t = 0.79$  эВ) практически все фотогенерированные дырки захватываются на примесный уровень.

Отмеченные в п. 2 и 3 особенности хорошо видны на рис. 1.

Таким образом, проделанный анализ, несмотря на его весьма приближенный характер, выявил основные качественные особенности распределения электрического поля в прикатодной области. Сделанные существенные упрощения, однако, не позволяют описать зависимость  $E(x)$  аналитически во всей структуре или использовать формулу (11) в случае существенного изменения  $E(x)$  в прикатодной области.

Дадим качественную трактовку полученной зависимости  $E(X)$ . В случае, когда в катодной части толщи  $n(x) < n_*$  и  $p(x) < p_*$  (это соответствует условию  $\varphi_{B_n} > \varphi_{cr}$ ), превалирует тепловая генерация электронов с примеси ( $U < 0$ ). В результате степень заполнения примесей электронами  $f(x)$  уменьшается по сравнению с равновесным значением  $f_{eq}(x)$  и имеет место неравенство  $f < f_{eq} \lesssim f_*$  (рис. 5). Это приводит к положительному объемному заряду примеси  $\rho(x) \simeq -eN_t(f - f_*) > 0$ , что определяет рост поля с координатой  $x$  ( $dE/dx > 0$ ). При этом значение  $d^2E/dx^2 \sim -df/dx \simeq (df/dn)(-dn/dx) > 0$ , так как  $df/dn > 0$  и  $dn/dx < 0$ , и наблюдается ускоренный рост поля. В противоположном случае,  $n(x) > n_*$  и  $p(x) > p_*$  т.е.  $\varphi_{B_n} < \varphi_{cr}$ , превалирует рекомбинация неравновесных носителей. Избыточные электроны захватываются примесью, что увеличивает их степень заполнения электронами. Это ведет к неравенствам  $f > f_*$ ,  $\rho < 0$  и убыванию поля, причем  $d^2E/dx^2 < 0$ .

Следует подчеркнуть, что обсуждаемая качественная картина реализуется лишь при выполнении двух условий. Во-первых, — при достаточно большой концентрации примеси, объемный заряд которой заметно превышает объемный заряд носителей в катодной части толщи.

Во-вторых, — при заметной чувствительности степени заполнения  $f$  к электронной концентрации, что при малом значении  $n$  возможно лишь при  $\alpha_n \gg \alpha_p$ . Влиянию этих величин на распределение электрического поля и посвящен следующий раздел.

#### 4. Влияние величины сечения захвата носителей заряда и концентрации примеси

Численные расчеты проводились для наиболее интересного для нас случая  $\varphi_{B_n} = 1$  В и  $N_t = 10^{13}$  см $^{-3}$ . Остальные параметры брались такими же, как в разд. 1. Результаты численного эксперимента (рис. 7) свидетельствуют, что при малых значениях  $\sigma_n \lesssim 10^{-14}$  см $^2$  профили электрического поля не имеют точки перегиба в катодной части толщи. Они подобны изученным ранее при  $\sigma_n \ll \sigma_p$  [2,3]. Характер распределений  $E(x)$  определяется тем, что при таких соотношениях между сечениями захвата и принятом значении  $\varepsilon_t$  примесь проявляет себя как центр прилипания для дырок, когда  $f = p_1/(p + p_1)$ . В этом случае в толще всегда  $d^2 E/dx^2 < 0$ . С увеличением значения  $\sigma_n \gtrsim 4 \cdot 10^{-14}$  см $^2$  в катодной толще проявляется область с  $d^2 E/dx^2 > 0$ , что связано с рассмотренным в предыдущем разделе эффектом чувствительности степени заполнения  $f$  к величине электронной концентрации. Рост  $\tilde{E}_d$  с увеличением  $\sigma_n$  связан с увеличением плотности объемного заряда примеси из-за возрастания  $\sigma_n$ . Уменьшение ширины слоя с положительной кривизной поля с ростом  $\sigma_n$  связано с уменьшением дрейфовой длины электронов  $l$  (см.(6)).

Из рис. 7 также видно, что в распределении  $E(x)$  вблизи анода имеются три характерные области. Резкое падение поля в слое толщиной в несколько длин поглощения сменяется довольно протяженной областью квазинейтральности, где абсолютное значение поля  $|\tilde{E}|$  порядка

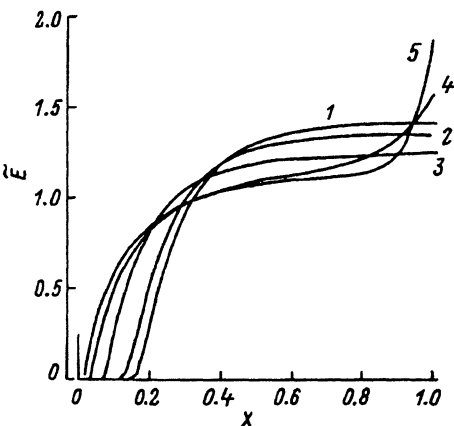


Рис. 7. Распределение электрического поля  $\tilde{E}(X)$  при различных значениях сечения захвата электронов  $\sigma_n$ , см $^2$ : 1 —  $10^{-16}$ , 2 —  $10^{-15}$ , 3 —  $10^{-14}$ , 4 —  $10^{-13}$ , 5 —  $10^{-12}$ ;  $\varphi_{B_n} = 1$  В,  $N_t = 10^{13}$  см $^{-3}$ .

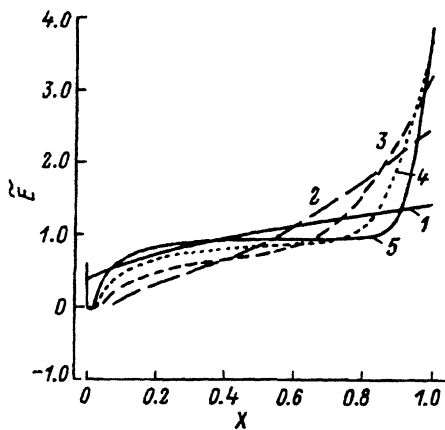


Рис. 8. Распределение электрического поля  $\tilde{E}(X)$  при различных значениях концентрации примеси  $N_t$ , см $^{-3}$ : 1 — 0, 2 —  $4 \cdot 10^{12}$ , 3 —  $10^{13}$ , 4 —  $2 \cdot 10^{13}$ , 5 —  $4 \cdot 10^{13}$ ;  $\varphi_{B_n} = 1$  В,  $\sigma_n = 10^{-13}$  см $^2$ .

$10^{-3} \div 10^{-2}$  и (за исключением случая  $\sigma_n = 10^{-16} \text{ см}^2$ ) величина  $\tilde{E}$  меньше нуля. Далее, при удалении от поверхности поле  $E(x)$  начинает быстро расти. Оба участка резкого изменения поля связаны с большим объемным зарядом примеси, превосходящим объемный заряд свободных носителей. Вблизи анода степень заполнения примеси примерно равна 1 и ведет себя подобно кривой 3 на рис. 5. Здесь она заметно больше равновесной. Плотность объемного заряда отрицательна, велика, и поле резко падает. Уменьшение концентрации электронов при отходе от освещаемой поверхности и захват дырок приводят к уменьшению степени заполнения примеси, нейтрализации ее объемного заряда зарядом фотогенерированных дырок и образованию области квазинейтральности. Дальнейшее падение электронной концентрации приводит к опустошению ловушек до степени заполнения ниже равновесной, в результате чего объемный заряд примеси изменяет знак, и поле начинает заметно расти. Ширина области квазинейтральности уменьшается с увеличением  $\sigma_n$  из-за рекомбинации носителей. Из-за того что приложенное к структуре напряжение фиксировано, уменьшение ширины квазинейтральной области и более ранний рост поля в анодной части толщи приводят к некоторому снижению поля в середине структуры.

Изучим влияние концентрации примеси  $N_t$  на распределение электрического поля. Рассмотрим случай  $\varphi_{B_n} = 1 \text{ В}$ ,  $\sigma_n = 10^{-13} \text{ см}^2$ . Остальные параметры такие же, как и в разд. 1. Профили электрического поля, представленные на рис. 8, демонстрируют сильную зависимость от концентрации примеси при изменении  $N_t$  от 0 до  $4 \cdot 10^{13} \text{ см}^{-3}$ . При малых значениях  $N_t$  зависимость  $E(x)$  близка к корневой (при  $E_0 \neq 0$ ), изученной в работе [9]. При  $N_t \gtrsim 4 \cdot 10^{12} \text{ см}^{-3}$ , когда объемный заряд примеси становится существенным, в распределении  $E(x)$  в толще появляется точка перегиба. Дальнейшее увеличение  $N_t$  приводит к тому, что профиль  $E(x)$  приобретает характерный вид, содержащий явно выраженную область, где  $d^2 E / dx^2 > 0$ . Ширина этой области уменьшается с ростом  $N_t$ , а величина  $E_d$  увеличивается. Первое связано с уменьшением характерной дрейфовой длины электронов  $l$ , которая в силу (6) пропорциональна  $N_t$ . Второе связано с увеличением объемного заряда примеси. При значениях  $N_t \gtrsim 10^{13} \text{ см}^{-3}$  поле вблизи середины структуры слабо изменяется и по величине близко к внешнему полю, а величина  $\tilde{E}_d \gtrsim 3$ . Вблизи анода имеется область резкого падения  $E(x)$ , за которой расположена область квазинейтральности. Ширина последней уменьшается с ростом  $N_t$  вследствие увеличения скорости рекомбинации.

Что касается пороговой концентрации примеси, при которой в распределении  $E(x)$  появляется точка перегиба, то ее величина зависит от  $\varepsilon_t$ ,  $p_*$  и других параметров задачи. В частности, при уменьшении  $\varepsilon_t$  профиль с положительной кривизной появляется при большей концентрации примеси.

## Заключение

Результаты, полученные в работе, показывают возможность существования качественно нового распределения поля, а именно — профиля с положительной кривизной в катодной части толщи освещаемого

диода. Необходимыми условиями являются достаточно большая концентрация примеси и выполнение неравенства  $\sigma_n \gg \sigma_p$ , обеспечивающие чувствительность степени заполнения уровня примеси и плотности объемного заряда к изменению электронной концентрации. Полученные распределения электрического поля качественно согласуются с экспериментом [4], однако данная модель дает более слабую чувствительность поля у катода и тока к интенсивности, чем это обнаружено в эксперименте. Усовершенствование модели, направленное на согласование с экспериментом, следует, по нашему мнению, искать в модернизации граничных условий, когда обмен дырками с металлом затруднен. Последнее будет иметь место при увеличении толщины диэлектрической пленки и будет способствовать усилинию зависимости поля у катода и тока от интенсивности освещения.

Полученные характер распределения поля в толще сохраняется и для МДПДМ структур с малой туннельной прозрачностью границ. Уменьшение прозрачности в этом случае скажется на изменении поля лишь в слое толщиной несколько  $l_E = kT/eE_d$ , что намного меньше дрейфовой длины  $l$ , характеризующей расстояние, на котором изменяются электронная концентрация, степень заполнения примеси и объемный заряд.

Резников Б.И., E-mail: reznikov@numer.ioffe.rssi.ru

### Список литературы

- [1] Б.И. Резников, Г.В. Царенков. ФТП, **28**, 242 (1994).
- [2] Б.И. Резников, Г.В. Царенков. ФТП, **28**, 867 (1994).
- [3] Б.И. Резников, Г.В. Царенков. ФТП, **28**, 1788 (1994).
- [4] П.Г. Кашерининов, А.В. Кичаев, И.Д. Ярошечкий. Письма ЖТФ, **19**, 49 (1993).
- [5] С. Зи. Физика полупроводниковых приборов (М., Мир 1984) Т. 1, с. 304.
- [6] Т. Takebe, J. Sarai, H. Matsunami. J. Appl. Phys., **53**, 457 (1982).
- [7] P. Jandl, M. Rick, J. Rosenzweig. Phys. St. Sol. (a), **121**, 219 (1990).
- [8] D. Verity, F.J. Bryant, C.G. Scott, D. Shaw. J. Cryst. Growth, **59**, 234 (1982).
- [9] П.Г. Кашерининов, Б.И. Резников, Г.В. Царенков. ФТП, **26**, 1480 (1992).

Редактор Т.А. Полянская

## Light controlled electric fields in a high-resistivity MISIM structure with tunnel-transparent insulators

B.I. Reznikov, G.V. Tsarenkov

A.F. Ioffe Physicotechnical Institute, Russian Academy of Sciences, 194021, St. Petersburg, Russia

A theoretical study has been done which considers the influence of Schottky barrier  $\varphi_{B_n}$ , cross sections of carrier capture by impurity deep levels, and the impurity concentration on the photoeffect in a strongly biased high-resistivity symmetric MISIM structure with tunnel-transparent insulators. The structure was illuminated from the anode side by monochromatic intrinsic light. A whole system of the continuity equations in a diffusion-drift approximation as well as the Poisson equation were solved, carrier emission through semiconductor boundaries being available. The results are presented for a CdTe structure having a single impurity level.